

## II Désablage - Désinfiltrage

A-1. PFD du bief galbien sur la bâche  
m  $\frac{d\vec{v}}{dt} = m \vec{g} - m f \vec{g} - 6 \pi M r \vec{v}$  avec  $\frac{Mf}{m} = \frac{4 \pi r^3 \rho_s}{4 \pi r^3 \rho_s} = \frac{\rho_s}{\rho}$

$$\frac{d\vec{v}}{dt} + \frac{6 \pi M r}{m} \vec{v} = (1 - \frac{\rho_s}{\rho}) \vec{g} = (1 - \frac{\rho}{\rho_s}) \vec{g}$$

A-2. Vitesse limite atteinte après le régime transitoire :

En régime stable  $\frac{d\vec{v}}{dt} = \vec{0} \rightarrow$  proj. sur  $\vec{v}_3$ :  $\frac{6 \pi M r}{m} v_l = (\frac{\rho}{\rho_s} - 1) g$   
 $\rightarrow \frac{6 \pi M r}{4 \pi r^3 \rho_s} = \frac{(\frac{\rho}{\rho_s} - 1) g}{g}$

$$v_l = \frac{2 g \rho_s r^2 (\frac{\rho}{\rho_s} - 1)}{9} = \frac{g r^2 (1 - d)}{9} \quad \text{avec } d = \frac{1}{\rho_s}$$

Sédimentation si  $d > 1$  et remontée si  $d < 1$  ! naturellement

(v <sub>l</sub> < 0)				
sable grossier	sable fin	limon	argile	colloïde
3,6	$3,6 \cdot 10^{-2}$	$3,6 \cdot 10^{-4}$	$3,6 \cdot 10^{-6}$	$3,6 \cdot 10^{-8}$
$t_c = \frac{H}{v_l}$	9,56 s	56 s	33 min	15 h

C -  $Re = \frac{\rho_l v_l (2n)}{\eta} = \frac{4 n^3 (d-1) g}{9 \eta^2} \leq 5 \rightarrow (n \leq 88) \mu\text{m}$   
résultat à corriger pour les sables.

D -  $t_c < t_{\text{lym}}$  avec  $t_c = \frac{H}{2 g n^2 (d-1)}$   $\rightarrow$  valeur admissible de  $v_l$  !

$$n \leq n_{\text{min}} = \sqrt{\frac{g}{2} \frac{H}{g t_{\text{lym}} (d-1)}} \quad \text{AN: } n_{\text{min}} = 8,8 \mu\text{m}$$

Le désablage ne permettra pas d'éliminer ces tailles de part !

## E - Dimensionnement du désablage

E1) Du bief lié au sol, la vitesse des part. est composée de la vitesse verticale limitée côté et de vitesse d'entraînement horizontale côte aussi.

$$\vec{v} = \vec{v}_l + \vec{v}_{\text{ean}} = \vec{c}_{\text{côte}} \rightarrow \text{mvt rect. uniforme côte aussi.}$$

selon la direction de  $\vec{v}$  ! (droite oblique)

$$\Delta t = \frac{L}{v_{\text{ean}}} \quad \text{durée pour traverser le désablage}$$

E2) Pour avoir sédimentation dynamique (avec  $v_{\text{ean}}$ ), il faut que

$$t_c(\text{min}) < \Delta t = \frac{L}{v_{\text{ean}}} = \frac{HL^2}{6d}$$

$$\text{avec } d = v_{\text{ean}} H l = \int_S \vec{v} \cdot d\vec{s} = v_{\text{ean}} \frac{HL}{6} \rightarrow \frac{1}{d} = \frac{HL}{6 v_{\text{ean}}}$$

$$\text{donc } L > L_{\text{min}} = \sqrt{\frac{6 d t_c(\text{min})}{H}} \quad \text{AN: } L_{\text{min}} = 20,8 \text{ m}$$

## III Décantation des boues résiduelles

A - Profil de concentration à l'éq. ds un modèle correct-diffusif

A-1 a)  $\vec{J}^0 = -D \vec{grad} n^+ = -D \frac{\partial n^+}{\partial z} \vec{z}$  (ici  $v_l > 0$  !)  
b)  $\vec{J}^c = \vec{n}^+ \vec{v}_l \rightarrow \vec{J}^c = \vec{J}^0 + \vec{J}^d = - (n^+ v_l + D \frac{\partial n^+}{\partial z}) \vec{z}$   
 $\vec{J} = \vec{J}^c + \vec{J}^d = \vec{J}^0 + \vec{J}^d = \vec{J}^0 + \vec{J}^d = \vec{J}^0 + \vec{J}^d$

c) Réalisons un bilan de part.

entre  $z$  et  $z + dz$  pour une tranche dy du bac de volume  $dV$

$$dN = n^+ (t + dt, z) - n^+ (t, z) \quad dV = dt [\phi_{\text{partic}} (z, t) - \phi_{\text{partic}} (z + dz, t)]$$

$$= \frac{\partial n^+}{\partial t} dt dz = - \frac{\partial \phi}{\partial z} dz dt \quad \text{avec } \phi = \int_S \vec{J} \cdot d\vec{s} = \int_S \vec{J} dz$$

$$\vec{J}^0 (z + dz, t) dz = - \frac{\partial \phi}{\partial z} dz \quad \text{et } \vec{J}^0 (z, t) dz = - \frac{\partial \phi}{\partial z} dz$$

$\vec{J}^0 (z + dz, t) dz = - \frac{\partial \phi}{\partial z} dz$

$\vec{J}^0 (z, t) dz = - \frac{\partial \phi}{\partial z} dz$

$\vec{J}^0 (z, t) dz = - \frac{\partial \phi}{\partial z} dz$

$$\text{avec } \frac{\partial j}{\partial z} = vL \frac{\partial m^*}{\partial z} - D \frac{\partial^2 m^*}{\partial z^2}$$

$$\left[ \frac{\partial m^*}{\partial z} = D \frac{\partial^2 m^*}{\partial z^2} + vL \frac{\partial m^*}{\partial z} \right] \text{ avec } vL > 0$$

$$A-2 - \text{Profil en régime statique : } \frac{\partial m^*}{\partial z} = 0$$

$$a) D \frac{\partial^2 m^*}{\partial z^2} + vL \frac{\partial m^*}{\partial z} = 0 \rightarrow \int \frac{dm^*}{dz} + \frac{vL}{D} m^* = K$$

$$\hookrightarrow m^*(z) = A e^{-\frac{vL}{D} z} + K = A e^{-\frac{3}{H} z} + K$$

avec  $A = \frac{D}{vL}$

$$\text{En } z=0, \text{ c}\hookrightarrow \text{ pour le } \phi \rightarrow \phi(z=0) = 0 \rightarrow j(z=0) = 0$$

$$\text{donc } D \frac{\partial m^*}{\partial z}(z=0) + vL m^*(z=0) = -\frac{DA}{H} + vL A + vL K \\ = vL K = 0 \rightarrow K = 0$$

$$\text{et } m^* = m^*(z=0) = A$$

$$m^*(z) = A e^{-\frac{3}{H} z}$$

$$b) \text{ Facteur de Boltzmann } \times e^{-\frac{m^* g z}{R T}} \quad \epsilon_p = m^* g z$$

$\hookrightarrow$  m<sup>\*</sup> = m<sub>0</sub> \* V

$$\text{et } m^*(z) \times e^{-\frac{vL z}{D}} \rightarrow \frac{vL}{D} = \frac{(\frac{v}{d} - 1) m^* g}{6 \pi H^2 \cdot R T}$$

On retrouve bien le facteur de

$$\text{Boltzmann } m^* g z \text{ avec } m^* \text{ la masse effective de la part. intégrant la puissance d'Archimède} / \left[ m^* = m \left( \frac{v}{d} - 1 \right) \right]$$

$$c) n = 1 \mu\text{m} \rightarrow d = 6,1 \cdot 10^{-8} \text{ m}$$

$$n = 9,1 \mu\text{m} \rightarrow d = 6,1 \cdot 10^{-5} \text{ m}$$

$$n = 0,01 \mu\text{m} \rightarrow d = 6,1 \cdot 10^{-2} \text{ m}$$

en calculant  $\frac{vL}{R T}$  !  
avec l'expression précédente

Comparons les ODE les termes de l'éq. de Mason - Weaver en régime statique :  $|D \frac{\partial^2 m^*}{\partial z^2}| \propto D \frac{m^*}{H^2}$  et  $|vL \frac{\partial m^*}{\partial z}| \propto vL \frac{m^*}{H^2}$

$$\left| \frac{D \frac{\partial^2 m^*}{\partial z^2}}{vL \frac{\partial m^*}{\partial z}} \right| \propto \frac{D}{vL} \frac{1}{H} = \frac{1}{H} \rightarrow \text{avec } \frac{d}{H} \ll H$$

$H \approx m$  !

le terme de diff. est négligeable, ce qui est le cas ici!

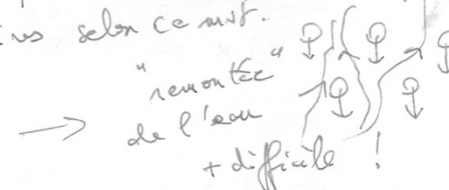
III - B - Sédimentation d'une suspension concentrée

$$B-1) \quad a) \chi(z, t) = m^*(z, t) \times V \text{ et } V = \frac{V_0}{3} \text{ m}^3 \text{ le volume d'1 part. solide}$$

$$b) vL(m^*) = V_0 (1 - m^* V)^{5/3}$$

$V_0$  représente la vitesse lorsque  $m^* \rightarrow 0$   
et  $\chi \rightarrow 0$  (sans tenu concentré)

et  $\chi \rightarrow 1$  avec la concentration  $m^*$ , la vitesse  $\downarrow$  en raison de frottement. De nombreux interactions solvant/solute et à fluides supplémentaires. De nombreux interactions solvant/solute prendre en compte. Par ex., en sédimentation, les part. de solute déplacent des molécules de solvant (d'eau) disposées entre les mol. de solute (en point "interstitielle") qui vont "rencontrer" entre les part. de solute et entraîner les frot. supplémentaires selon ce motif.



$$B-2) \quad \vec{j} = - j(z, t) \vec{e}_z$$

$$\text{avec } j(z, t) > 0.$$

$$| j(z, t) = vL(z, t) m^*(z, t) = V_0 (1 - m^* V)^{5/3} m^* |$$

$$j(z, t) = \frac{v_0}{V} (1-y)^m y \quad \text{avec } y = m^* v$$

$$j(y) = \frac{v_0}{V} f(y) \quad \text{avec } f(y) \text{ max pour } y = 0,15 \text{ et } f(y) \text{ max} \approx 0,065$$

$$\boxed{j_{\max} = \frac{v_0}{V} \times 0,065}$$

$$\text{Partie du segment } 0S = \frac{f(y)}{y} = \frac{v_0 j}{m^* v} = \frac{j}{m^* v_0} = \frac{v^2 v_0}{m^* v_0} = \frac{v^2 v_0}{V}$$

↳ rapport du flux de correct au flux « dilué » ( $m^* \rightarrow 0$ )

Cette partie est décrise par  $f'(y)$ : de correct

→ à concentration faible  $\rightarrow 0$ , elle vaut 1!

→ elle  $\downarrow$  qd  $m^* \uparrow$  (ou  $y \uparrow$ ) (devenu 0 pour  $y \geq 0,15$ )  
 et s'inflechit pour  $y \geq 0,35$   
 car  $v^2(m^*) \downarrow$  qd  $m^* \uparrow$  et  $v^2$  est faible pour la forte concentration  
 le flux à forte concentration sera  $j \uparrow$  + faible qu'à faible concentration

B3) a) ds la zone (1) transparente  $n^* = 0 \rightarrow f(y) = 0 \rightarrow$  aucun flux!

ds la zone (3) opaque  $y^* > 0,8 \rightarrow f(y) = 0 \rightarrow$  aucun flux!  
 zone de saturation

ds la zone (2) intermédiaire  $f(y) \neq 0$  il y a un flux.



Entre  $t$  et  $t+dt$ , dans la tranche  $dy$ , la variation du nbre de particules est  $dN = dN(t+dt) - dN(t)$

$$dN = n^* dy - n^* dy = (n^- - n^*) dy = (n^- - n^*) v^2 dt$$

Also que ce volume élémentaire est traversé par des flux /  $dN = (j^+ - j^-) dy$

Déplacer  $v$  du fond de laurite

$$(n^- - n^*) v^2 dt = j^+ dy - j^- dy$$

$$\boxed{v^2 = - \frac{j^+ - j^-}{n^- - n^*}}$$

$$c) \vec{v}_{12} / n^* = n^* = 0 \quad \text{dans } j(n^*) = 0$$

$$\vec{v}_{12} = - \frac{j(n^*)}{n^*} \vec{v}_x = - \frac{n^- v^2(x)}{n^-} \vec{v}_x = - v_0 (1-x)^m \vec{v}_x$$

$$\boxed{\vec{v}_{12} = - v_0 (1-0,1) \vec{v}_x = \boxed{- v_0 \times 0,9584 \vec{v}_x}}$$

$$d) \vec{v}_{23} / j(n^*) = 0 \quad \text{et: pour le milieu (2) on a } y_2 = 0,1$$

soit  $n^* = x_+ = \frac{0,1}{V}$  et prenons  $x_+ = 0,8$  à la limite

$$n^* = \frac{x_-}{V} = \frac{0,8}{V}$$

$$\text{donc } \vec{v}_{23} = - \frac{j(n^*)}{0,1 - 0,8} \vec{v}_3 \quad \text{d'autre part } j(n^*) = v^2(n^*) n^* = 0,584 V^2$$

$$\boxed{\vec{v}_{23} = - \frac{0,584 V^2}{0,1 - 0,8} \vec{v}_3 = \boxed{v_0 \times 0,083 \vec{v}_3}}$$

(b) 2 vitesses de sens opposés!

B4 - a) En reprenant la méthode qu'en B3) b)

$$n(z+dz) \leq \phi(z, t)$$

$$\begin{array}{c} \text{3) } dz \\ \hline \hline \end{array} \quad 1 dz = v^2 dt$$

$$n(z) \leq \phi(z)$$

$$dN = n(z, t) dy - n(z+dz, t) dy$$

$$= - \frac{\partial n^*}{\partial z} v^2 dy$$

$$\text{d'autre part} = [j(z+dz, t) - j(z, t)] dy = \frac{\partial j}{\partial z} dy$$

$$\boxed{\vec{v}_{13} = - \frac{\partial j}{\partial z} \vec{v}_z = \boxed{- \frac{\partial j}{\partial z} \vec{v}_z}}$$

$$\text{avec } j = v^2 n^* = \frac{v_0}{V} (1-y)^m y = \frac{v_0}{V} f(y)$$

donc  $\vec{v}_{13}$  n'aillera que  $-f'(y)$ !

b) Pour les faibles concentrations  $\rightarrow \vec{v}_{13}$  grande direction vers le bas

et s'annule! pour  $y \approx 0,16$ . Au delà vitesse vers le haut!

d'où c'est d'un premier front

Pour les forte concentrations  $\rightarrow \vec{v}_{13}$  vers le haut puis zéro!

## Conception technique d'une éolienne Darrieus

2021 PSI CS

Q3 - Expliquer le tableau 1 de synthèse :

$$\langle P \rangle = 0,37 \times 867 + 2,86 \times 5320 + 903 \times 10236$$

$$\langle P \rangle = 4,12 \text{ kW}$$

mg produite sur 1 an  $\rightarrow$   $E = \langle P \rangle \times \Delta t = 36 \text{ MWh}$   
 $= 1,3 \times 10^7 \text{ GJ}$

Q4 - Loi de la composition des vitesses  $\Rightarrow \vec{v}_{(R)} = \vec{v}_{(R)} + \vec{v}_{(B)}$   
 $\vec{v}_0 = \vec{v} + \vec{w} \rightarrow \vec{w} = \vec{v}_0 - \vec{v}$

Q5 -  $\omega^2 = \vec{w} \cdot \vec{w} = v_0^2 + v^2 - 2 \vec{v}_0 \cdot \vec{v}$  avec  $\vec{v}_0 = v_0 \vec{e}_x$   
 $\omega^2 = v_0^2 + v^2 + 2v_0 v \sin \theta$  et  $\vec{v} = (-\sin \theta \vec{e}_x + \cos \theta \vec{e}_y) v$

$$\text{et } v = R\omega = 1/v_0 = \frac{v_0}{1-a} = a v_0$$

$$\omega^2 = v_0^2 \left( 1 + a^2 + 2a \sin \theta \right) \rightarrow \omega = v_0 \sqrt{1 + a^2 + 2a \sin \theta}$$

Q6 -  $w \cos \alpha = - \vec{w} \cdot \vec{e}_x = - (\vec{v}_0 - \vec{v}) \cdot \vec{e}_x = - \sin \theta v_0 + v$   
 $= \sin \theta v_0 + a v_0 = v_0 (\sin \theta + a)$

$$w \sin \alpha = \vec{w} \cdot \vec{e}_y = (\vec{v}_0 - \vec{v}) \cdot \vec{e}_y \quad \vec{v} + \vec{e}_y \text{ avec } \vec{e}_y = a \vec{e}_x + \sin \theta \vec{e}_y$$
 $= \vec{v}_0 \cdot \vec{e}_y$ 
 $= v_0 \cos \theta$

donc  $\tan \alpha = \frac{w \sin \alpha}{w \cos \alpha} = \frac{v_0 \cos \theta}{v_0 (\sin \theta + a)} = \frac{\cos \theta}{\sin \theta + a}$

On remarque d'abord que  
 pour  $\theta = \frac{\pi}{2}$  et  $\frac{3\pi}{2}$   $\rightarrow \tan \alpha$  s'annule  
 donc  $\alpha = 0$  min, ce qui est cohérent avec la fig. 3-bis  $\rightarrow \vec{w} \parallel \vec{v}$  angle d'attaque

$$\text{Max de } \tan \alpha \rightarrow \frac{d(\tan \alpha)}{d\theta} = \frac{\sin \theta (1 + a) - a \cos \theta}{(\sin \theta + a)^2} = \frac{1 + \sin \theta - a \cos \theta}{(\sin \theta + a)^2}$$

$$\text{s'annule pour } \sin \theta = -\frac{1}{a} = -\frac{1}{3,81} \Rightarrow \theta = -15^\circ$$

$$\hookrightarrow \theta_1 = -15^\circ \text{ et } \theta_2 = 180 + 15^\circ$$

$$\text{Alors } \tan \alpha_{\text{max}} = \pm 0,27 \rightarrow \boxed{\tan \alpha = \pm 15^\circ}$$

Re)  $\tan \alpha$  et  $\alpha$  se proches car  $\tan \alpha$  devient faible.  
 $(\theta = 3,81^\circ)$

En effet de manière qualitative  $\vec{w}$  reste proche de  $-\vec{v}$  et  $\tan \alpha \approx \frac{c_w \theta}{\theta}$  ! si on considère un max pour  $\theta \approx 0$  !

$$\tan \alpha_{\max} \approx \pm \frac{1}{\theta}$$

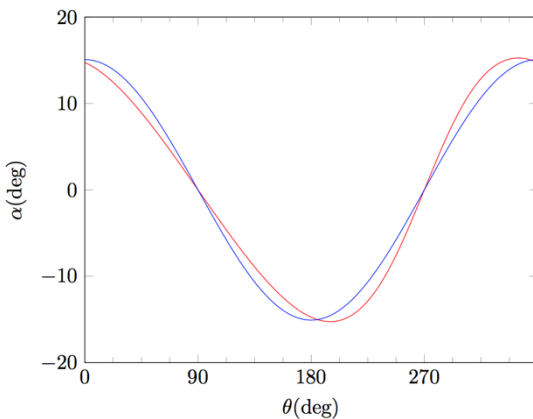
$$\approx \pm 9,263$$

On retrouve le calcul exact !

Avec  $\tan \alpha \approx \theta \rightarrow \alpha_{\max} \approx 9,263 \rightarrow 15,1^\circ$  !

Donc pour l'allure on peut se contenter de  $\tan \alpha \approx \frac{c_w \theta}{\theta}$

La courbe exacte en rouge et approchée issue de  $\tan \alpha \approx \frac{c_w \theta}{\theta}$  sont représentées ci-dessous



Q8 - Vérifier si d'abord le nombre de Reynolds de l'écoulement

$$Re = \frac{\rho w l}{\eta} \quad \text{avec } w = v_0 \sqrt{1 + 2\lambda \sin \theta + \lambda^2}$$

qui donne entre  $w = v_0 (1 - 2\lambda + \lambda^2)^{1/2}$   
 $(\theta = 38^\circ) = v_0 (1 + \lambda) = 10,6 \text{ m.s}^{-1}$   
 et  $w_f = v_0 (1 + \lambda) = 18,2 \text{ m.s}^{-1}$   
 $(\theta = 76^\circ)$

Donc  $3,2 \cdot 10^5 < Re < 5,5 \cdot 10^5$   $\rightarrow$  on choisira la courbe la + proche soit  $Re = 5 \cdot 10^5$  !

Pour cette courbe et  $|\alpha_{\max}| = +15^\circ$  le déchargeage n'est pas atteint et on observe une variation linéaire de  $C_L$  en  $\alpha$ .

$$\hookrightarrow C_L(\alpha) \approx k\alpha \quad \text{avec } k \approx 0,18$$

avec angle en deg.  
 $(k \approx 7,6^\circ \text{ avec rad.})$

$C_D$  tjs  $< 0,025$  et  $C_L \nearrow$  jusqu'à 1 en ODG !

$C_D \ll C_L$  sauf au voisinage d'un angle d'attaque nul où  $C_L(\alpha=0) = 0$  (aile symétrique).

$$Q9 - \vec{F}_i \approx \vec{F}_L \text{ car } C_D \ll C_L \quad \checkmark \quad w^2$$

$$= \frac{1}{2} C_L(\alpha) \rho S \frac{w^2}{2} (1 + 2\lambda \sin \theta + \lambda^2) \vec{n}$$

avec  $\vec{n} = \cos \alpha \vec{e}_1 + \sin \alpha \vec{e}_2$

- La composante selon  $\vec{e}_1$  n'influence pas la rotat de la pale (couple nul car  $\vec{e}_1$  passe par l'axe de rotat), elle est compensée par les réact d'axe

- La composante selon  $\vec{e}_2$  influence la rotat de l'écoulement. Avec des angles d'incidence  $< 15^\circ \rightarrow$  approx. des petits angles valide  $\rightarrow \sin \alpha \approx \alpha$  et  $\vec{F}_i \text{ et } k\alpha \times \alpha = k\alpha^2 \vec{e}_2$  si le signe de  $\alpha$  et le point de la pale, le couple de cette force est tjs du m<sup>me</sup> signe et à l'origine de la rotat !

$$Q10 - M_{3,1} = \text{bras de levier} \times \text{force}$$

$$= R \times \frac{1}{2} k \rho S v_0^2 (1 + 2\lambda \sin \theta + \lambda^2) \alpha \sin \theta$$

$$\text{avec petits angles } \alpha \sin \alpha \approx \tan \alpha = \frac{\cos \alpha}{(\sin \theta + \lambda)^2}$$

$$\text{Donc } M_{3,1} = \underbrace{\frac{k R \rho S v_0^2}{2} (1 + 2\lambda \sin \theta + \lambda^2) \cos^2 \theta}_{M_{3,1}} \frac{1}{(\sin \theta + \lambda)^2}$$

$$M_{3,1} = K f(\theta)$$

Q11 - Pale n°2  $\rightarrow \theta + \frac{\pi}{3}$  et chose identique par ailleurs  
pale n°3  $\rightarrow \theta + \frac{4\pi}{3}$

$$\boxed{\bar{f}_3 = K \left( f(\theta) + f(\theta + \frac{\pi}{3}) + f(\theta + \frac{4\pi}{3}) \right)}$$

$$\boxed{\bar{f}_3 = R \langle F(\theta) \rangle}$$

Q12 -  $I = \langle \bar{f}_3 \rangle \omega \approx 1,58 \text{ kW}$

avec  $R = \frac{k \rho c S v_0^2}{2}$  avec  $S = bL$  et  $\lambda = \frac{R\omega}{v_0} = \frac{1400}{16} = 14,4 \text{ m}^{-1}$

AN :  $R\omega = 2800 \text{ W}$  et  $\boxed{I = 4,4 \text{ kW}}$   $\rightarrow$  petit moteur industriel  
 $\rightarrow$  appareil électroménager

Q13 - 1er ordre de grêle est cohérent avec les résultats des essais  
 $\rho = 5,5 \text{ kg/m}^3$  pour vitesse vent entre 6 et  $10 \text{ m.s}^{-1}$

Q13 - Débit d'air circulaire traversant une surface  $S$  par dr  
avec un débit massique  $Dm = \rho \frac{S v_0}{dr} = \frac{dm}{dr} \rightarrow$  traversant

$$dE_c = dm \times \frac{1}{2} v_0^2 = \frac{1}{2} Dm dr v_0^2$$

$$dE_c = \frac{1}{2} \rho S v_0^3 dr \rightarrow \boxed{\frac{dE_c}{dr} = D_{Ec} = \frac{1}{2} \rho S v_0^3}$$

c'est la puissance max. du vent disponible sur la surface balayée par l'éolienne.  $\rightarrow$  couple  $\rightarrow$  l'éolienne

donc  $\boxed{D_{Ec} = \rho L R v_0^3 = 8,3 \text{ kW}}$

Q14 - Rendement  $\boxed{\eta = \frac{I}{D_{Ec}}} = \frac{\rho \pi k R \lambda L v_0}{2 \rho \pi k \lambda L v_0^3} \langle F(\theta) \rangle \omega$

$$\eta = \frac{k \lambda v_0^2}{2 v_0^3} \langle F(\theta) \rangle \omega \quad \text{avec} \quad v_0 = (1-a) v_{00} \quad \text{et} \quad R\omega = 1400$$

$$\eta = \frac{k \lambda}{2} \frac{1}{R} \frac{v_0}{v_{00}} \times (1-a)^2 \langle F(\theta) \rangle$$

$$\boxed{\eta = \frac{k \lambda}{2R} \lambda (1-a)^2 \langle F(\theta) \rangle}$$

AN  $\boxed{\eta = 0,53}$   
rendement moyen

$\rightarrow$  machine hydraulique  $\approx 93\%$   
 $\langle$  machines électriques  $\approx 95\%$  !  $\lambda$  de la piste de  $2\pi$

Q15 - Sur la courbe de  $F(\theta)$  on remarque une période de  $\frac{2\pi}{3}$  ( $120^\circ$ ) pend

Or  $\theta = \omega t$  ( $= 2\pi f t$ ). La fréq. fondamentale du débit pend de Fourier du couple sera donc  $\boxed{f_1 = \frac{1}{T_1} = \frac{1}{2\pi/3} = \frac{3\omega}{2\pi} = \frac{3,1400}{2\pi R}}$

Le signal n'est pas parfaitement harmonique  $\rightarrow$   $\boxed{f_n = m f_1 = m \frac{3,1400}{2\pi R}}$

$$v_0 = 0 \rightarrow f_2 = 0$$

$$v_0 = 16 \text{ m.s}^{-1} \rightarrow f_1 = 4,6 \text{ Hz} \quad (\lambda = 2,4)$$

multiple de la fréq. de rotation de l'éolienne

Q16 -  $\vec{F}_D = \frac{C_D}{2} \rho \pi S \omega^2 \vec{t}$

avec  $\vec{t} = -\omega \times \vec{v} + \sin \alpha \vec{e}_r$

de moment  $\boxed{M_{D,3} = -\frac{C_D}{2} \rho \pi S \omega^2 \vec{e}_r \times \vec{r}}$

avec  $\alpha \in [0; \pm 15^\circ] \rightarrow \cos \alpha > 0$

Donc un couple qui s'oppose au tour de la poutre de l'éolienne ( $w(\theta)$ )!

et  $\boxed{P = \langle M_{D,3} \rangle \omega < 0}$

On a intérêt à minimiser  $C_D$  car  $P \propto C_D$  pour optimiser la puissance délivrée par l'éolienne.